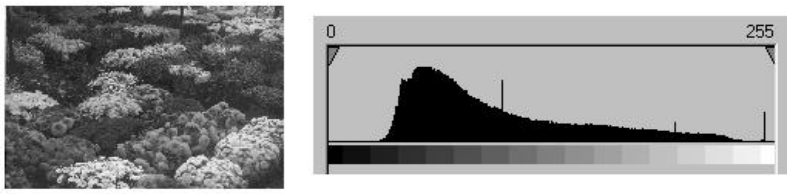
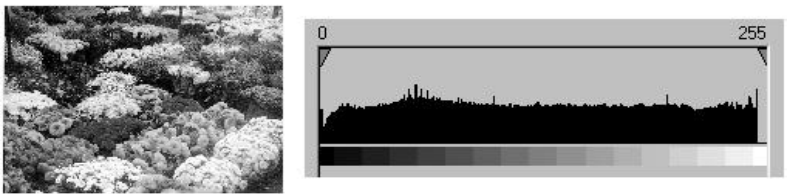


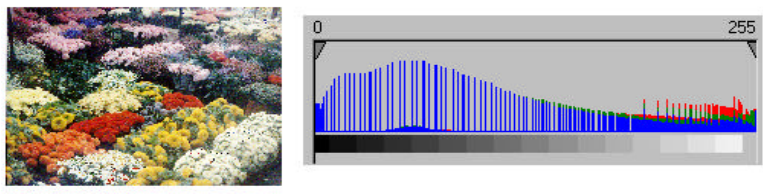
(a)



(b)



(c)



(d)

Figura S.15(a) Imagen original en color según el modelo RGB, a su derecha el histograma de los niveles de color; (b) extracción de la componente de intensidad según el modelo HSI a su derecha su histograma de los niveles de gris; (c) imagen realzada a partir de (b) mediante ecualización uniforme y su histograma a la derecha; (d) imagen RGB obtenida a partir de la imagen de intensidad dada en (c) y con las mismas componentes de matiz y saturación que las obtenidas en la transformación inicial de RGB a HSI a su derecha su histograma de los niveles de color



Figura S.16 (a) Imagen en color a partir de la cual se obtiene la imagen de grises de la figura 5.13(a) por extracción de la imagen de intensidad; (b) la misma imagen con mayor contraste, que se corresponde con la imagen de la figura 5.13(b) y (c) la misma imagen con mayor brillo y contraste, correspondiéndose con la imagen de la figura 5.13(c)

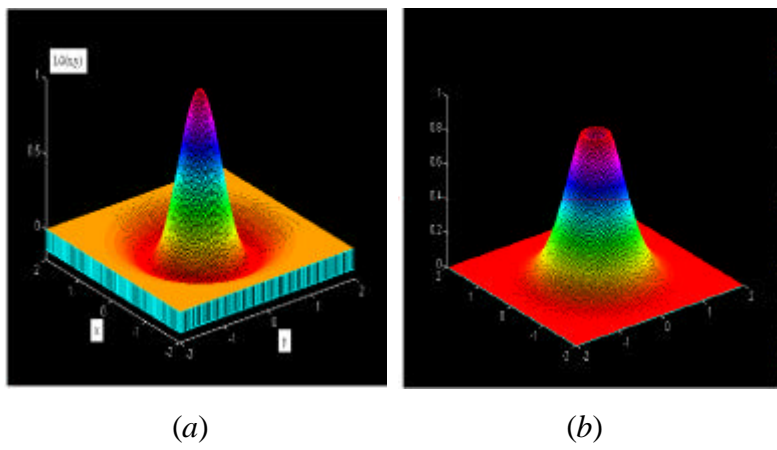


Figura S.17 (a) Representación del operador LG bidimensional obtenido a partir de la ecuación (6.16); (b) función de transferencia para la diferencia de dos funciones Gaussianas con valores de la desviación estándar σ de 2 y 10 obtenida a partir de la ecuación (6.17)

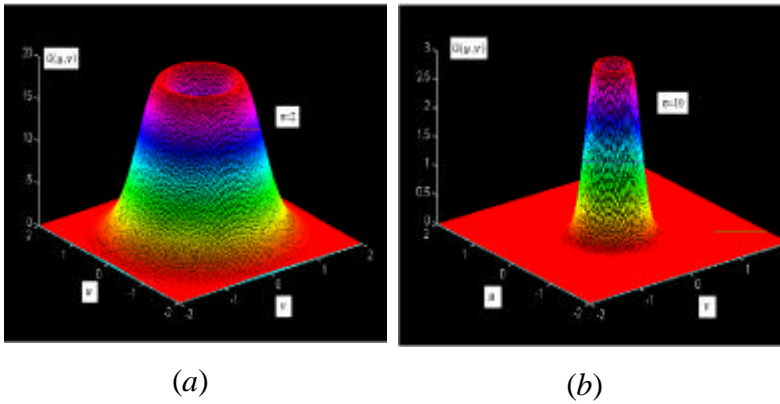


Figura S.18 Respuesta en frecuencia bidimensional del operador LG obtenido a partir de la ecuación (6.18), (a) para $s = 2$; (b) para $s = 10$

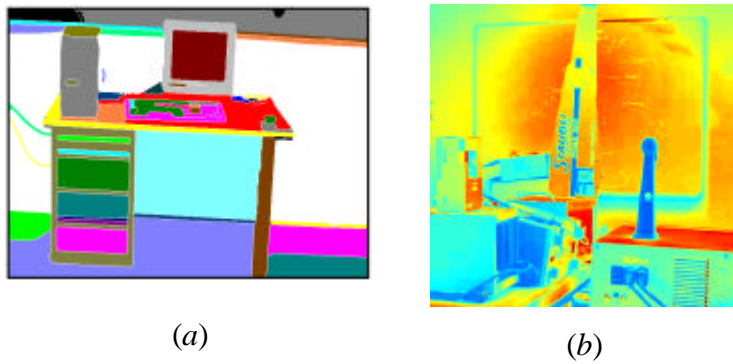


Figura S.19 (a) Resultado de aplicar el algoritmo de etiquetado clásico a la imagen de bordes mostrada en la figura 7.9(b); (b) regiones obtenidas mediante división y fusión derivada a partir de las imágenes de las figuras 7.13

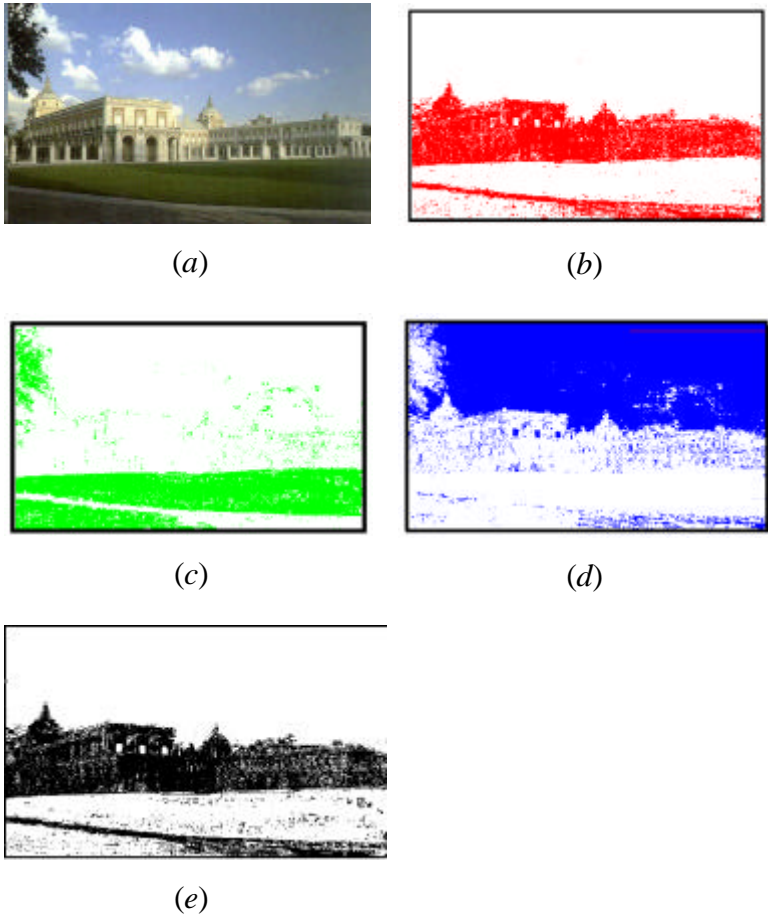


Figura S.20 Extracción de regiones mediante las componentes RGB según teoría expuesta en Capítulo 7; (a) imagen original en color; (b),(c) y (d) regiones de la imagen (a) con predominio de Rojo, Verde y Azul respectivamente; (e) imagen binaria a partir de (b)